

І.В. Гуцул, В.І. Гуцул

## Особливості нестационарного розподілу температури оптично непрозорого анізотропного термоелемента при імпульсному променевому збудженні

Чернівецький національний університет імені Ю. Федьковича, 58012 вул. Коцюбинського, 2,  
Чернівці, Україна, e-mail: [ktf@chnu.edu.ua](mailto:ktf@chnu.edu.ua)

У роботі наведено розв'язки нестационарного рівняння теплопровідності оптично непрозорого анізотропного термоелемента при імпульсному променевому збудженні для двох часових інтервалів, а саме, коли падає променевий потік ( $0 \leq t \leq t$ ) і коли дія променевого потоку припинилася ( $t > t$ ). Показано, що поведінка температурних розподілів суттєво залежить від співвідношення між тривалістю імпульсу  $t$  і часом релаксації  $t_0$  температурного відхилення по всьому об'єму анізотропного термоелемента, яке виникає при імпульсному променевому збудженні. Досліджено нестационарні температурні розподіли для довгих, коротких і середніх імпульсів збудження.

**Ключові слова:** анізотропний термоелемент, термостат, імпульсне променеве збудження, коефіцієнт теплопровідності, рівняння теплопровідності, температура.

Стаття постуила до редакції 12.01.2015; прийнята до друку 15.03.2015.

Дослідження термоелектричних явищ у твердих тілах, які опромінюються лазерним випромінюванням, є однією із областей термодинаміки, що активно розвивається. Її досягнення пов'язують із значним прогресом у технології лазерів, які використовують в якості променевих збуджень. Одним із перспективних напрямків розвитку сучасної термоелектрики є дослідження можливостей реєстрації та перетворення високоінтенсивних променевих потоків випромінювання [1, 2]. Отримання високих рівнів збудження в анізотропних

середовищах та досягнення у розвитку лазерної спектроскопії дозволяють детально зрозуміти нерівноважні процеси в таких системах.

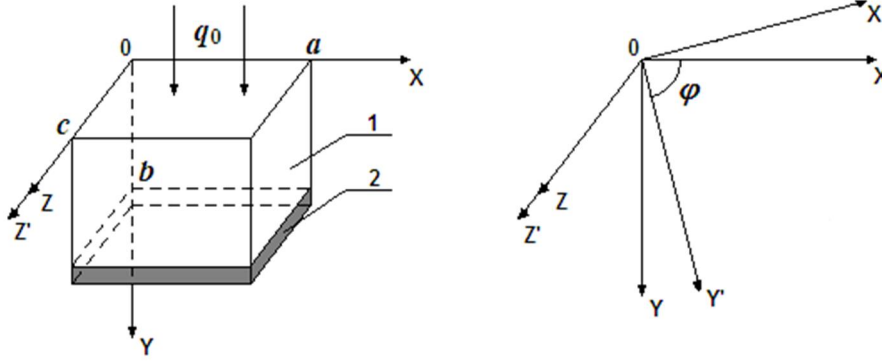
У даній роботі розглядається анізотропний термоелемент (АТ) у вигляді прямокутної пластини 1 (рис. 1) довжиною  $a$ , висотою  $b$  та шириною  $c$ , виготовленої з матеріалу, анізотропного за коефіцієнтами теплопровідності  $\chi$ . Цей тензор у лабораторній системі координат (XYZ), повернутій на кут  $\varphi$  у площині XOY відносно кристалографічної (X'Y'Z') системи, має вигляд:

$$c = \begin{vmatrix} c_{\parallel} \sin^2 \phi + c_{\perp} \cos^2 \phi & (c_{\parallel} - c_{\perp}) \sin \phi \cos \phi & 0 \\ (c_{\parallel} - c_{\perp}) \sin \phi \cos \phi & c_{\parallel} \cos^2 \phi + c_{\perp} \sin^2 \phi & 0 \\ 0 & 0 & c_{\perp} \end{vmatrix} \quad (1)$$

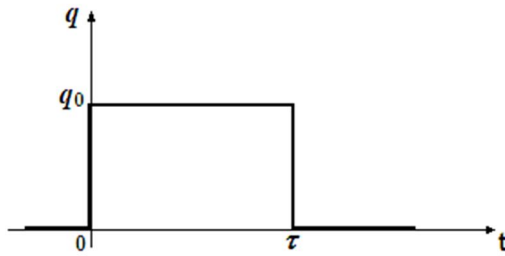
де  $c_{\parallel}$ ,  $c_{\perp}$  – компоненти тензора  $c$ .

На верхню грань  $y = 0$  пластини падає імпульс променевого потоку величиною  $q_0$  і тривалістю  $t$  (рис. 2). Вважаємо, що кристал є оптично непрозорим для падаючого випромінювання. Це означає, що вся енергія променевого потоку поглинається поверхнею

кристала і перетворюється у тепло. Внутрішні джерела тепла відсутні. Нижня грань пластини  $y = b$  підтримується при сталій температурі  $T_0$ , яка дорівнює температурі термостата 2. Бокові грані АОТ адіабатично ізольовані. Початкову температуру неопроміненої пластини будемо вважати рівною



**Рис. 1.** Схематична конструкція АТ: анізотропна пластина 1; термостат 2. Справа – лабораторна система координат XYZ і орієнтація кристалграфічних осей X'Y'Z' пластини 1.



**Рис. 2.** Імпульс променевого потоку  $q_0$ , який падає на верхню робочу грань анізотропної пластини;  $\tau$  – тривалість імпульсу,  $t$  – час.

температурі термостата  $T_0$  і при цьому не враховані крайові ефекти ( $a = c \gg b$ ) [3].

Для визначення розподілу температури АТ використаємо рівняння теплопровідності [4] при відсутності внутрішніх джерел тепла:

$$\frac{\partial T}{\partial t} = \frac{1}{C_0 r} \sum_{i,k=1}^3 c_{ik} \frac{\partial^2 T}{\partial x_i \partial x_k}, \quad (2)$$

де  $C_0$  – питома теплоємність,  $r$  – густина матеріалу АТ,  $c_{ik}$  – компоненти тензора теплопровідності.

У випадку нестационарного розподілу

температури в наближенні

$$\frac{\partial T}{\partial x} = \frac{\partial T}{\partial z} = 0, \quad c_{12} < c_{22}$$

рівняння теплопровідності (2) має вигляд:

$$\frac{\partial T(y,t)}{\partial t} = \frac{c_{22}}{C_0 r} \frac{\partial^2 T(y,t)}{\partial y^2}, \quad (3)$$

де  $T(y,t)$  – шукана температура,  $y$  – координата,  $t$  – час.

При визначенні нестационарного температурного поля  $T(y,t)$ , що формується під дією падаючого променевого потоку, розіб'ємо задачу на дві частини, які відповідають часовим інтервалам, коли падає променевий потік ( $0 \leq t \leq \tau$ ) і коли дія променевого потоку припинилася ( $t > \tau$ ).

Частина перша ( $0 \leq t \leq \tau$ ). У цьому випадку крайові та початкова умови для рівняння теплопровідності (3) мають вигляд:

$$\left. \frac{\partial T}{\partial y} \right|_{y=0} = -\frac{q_0}{c_{22}}, \quad T|_{y=b} = T_0, \quad T|_{t=0} = T_0. \quad (4)$$

Використовуючи метод розділення змінних [5], одержимо розв'язок рівняння (3) при умовах (4) у наступному вигляді:

$$T_1(y,t) = T_0 + \frac{q_0(b-y)}{c_{22}} - \frac{8bq_0}{p^2 c_{22}} \sum_{n=0}^{\infty} \frac{\cos\left[\frac{p}{2b}(2n+1)y\right]}{(2n+1)^2} \exp\left[-\frac{c_{22}p^2}{4rC_0b^2}(2n+1)^2 t\right] \quad (5)$$

Частина друга ( $t > \tau$ ). Задача знаходження нестационарного температурного розподілу зводиться до розв'язування рівняння теплопровідності (3) за наступними крайовими і початковою умовами

$$\left. \frac{\partial T}{\partial y} \right|_{y=0} = 0, \quad T|_{y=b} = T_0, \quad T(y,t=t-0) = T(y,t=t+0). \quad (6)$$

У цьому випадку початковим значенням температури є температура  $T_1(y,t)$ , яка задана співвідношенням (5) для моменту часу  $t = \tau$ .

Розділяючи змінні, аналогічно як і у першій частині задачі, одержимо розв'язок рівняння (3) для цього

інтервалу часу в такому вигляді:

$$T_2(y, t) = T_0 + \frac{8bq_0}{p^2 c_{22}} \sum_{n=0}^{\infty} \frac{\cos\left[\frac{p}{2b}(2n+1)y\right]}{(2n+1)^2} \left[ \exp\left[-\frac{c_{22}p^2}{4rC_0b^2}(2n+1)^2 t\right] - 1 \right] \exp\left[-\frac{c_{22}p^2}{4rC_0b^2}(2n+1)^2 t\right] \quad (7)$$

З аналізу співвідношення (5) для  $T_1(y, t)$  видно,

що при  $t \gg t_0 = \frac{4rC_0b^2}{c_{22}p^2}$ , тобто при досить довгій

тривалості імпульсу, розподіл температури не залежить від часу і має лінійну залежність від координати  $y$ . Параметр  $t_0$  має розмірність часу і характеризує так званий час релаксації температурного відхилення по всьому об'єму АТ, яке виникає при імпульсному променевому збудженні. Легко бачити, що при  $t = 0$  розв'язок (5) задовольняє початкову умову (4), тобто  $T(y, t)|_{t=0} = T_0$ . Із виразу (7) для нестационарного розподілу температури

$T_2(y, t)$  випливає, що при  $t = t$  має місце лінійна залежність від координати  $y$ , а при  $t \rightarrow \infty$   $T_2(y, t)$  прямує до  $T_0$ , як і повинно бути.

Загальний розв'язок (5) при  $0 \leq t \leq t$  і загальний розв'язок (7) при  $t > t$  рівняння теплопровідності (3) можна записати для обох часових інтервалів одним співвідношенням, використавши функцію Хевісайда [6].

$$q(t-t) = \begin{cases} 0, & t < t, \\ 1, & t > t. \end{cases} \quad (8)$$

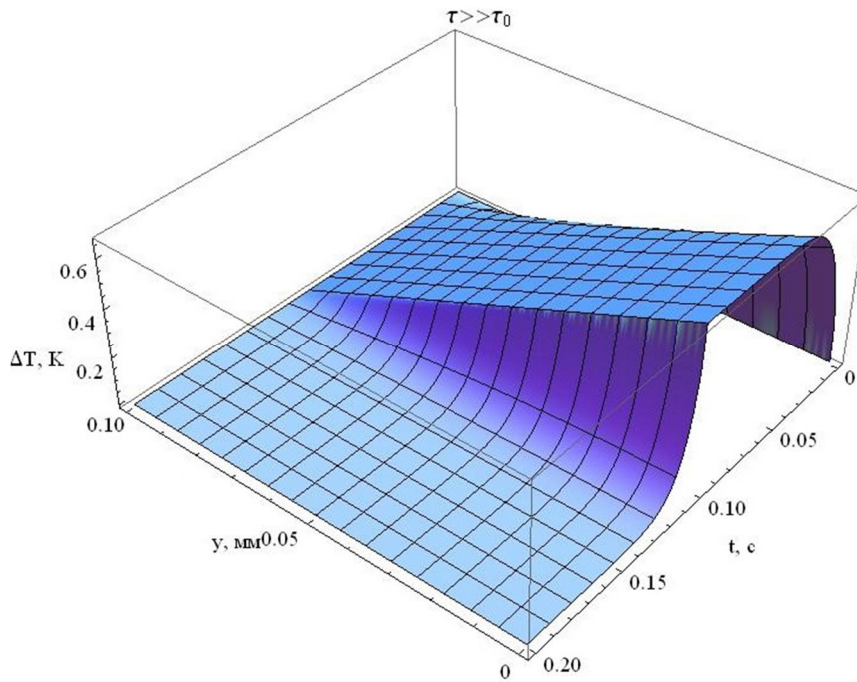
Тоді одержимо наступний вираз для нестационарного розподілу температури:

$$T(y, t) = T_0 + \frac{q_0(b-y)}{c_{22}} - \frac{8bq_0}{p^2 c_{22}} \sum_{n=0}^{\infty} \frac{\cos\left[\frac{p}{2b}(2n+1)y\right]}{(2n+1)^2} \exp\left[-\frac{c_{22}p^2}{4rC_0b^2}(2n+1)^2 t\right] -$$

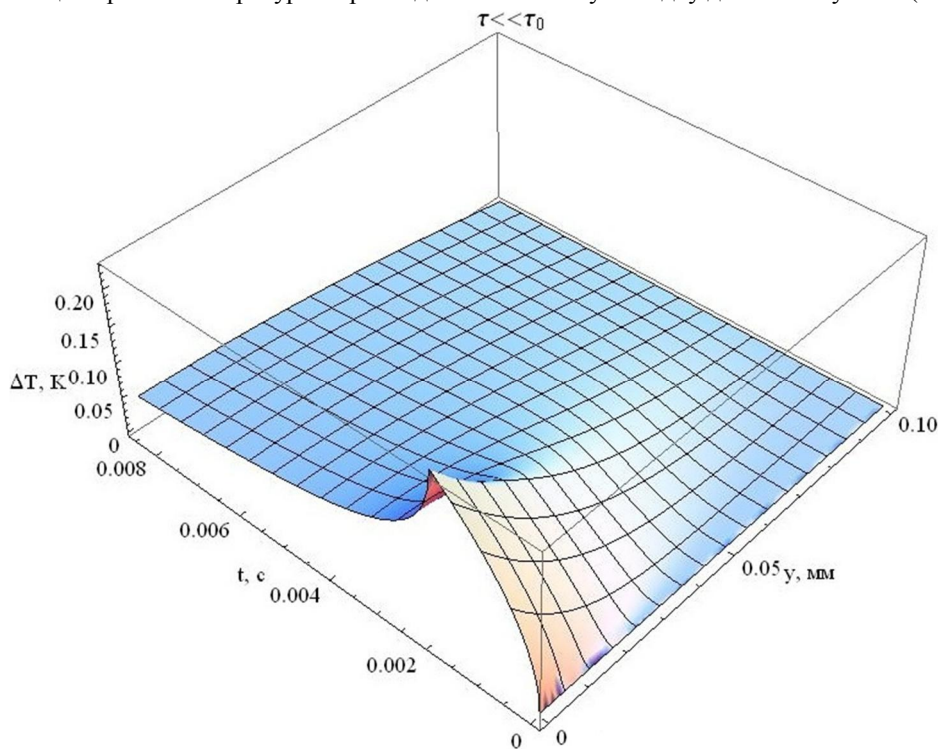
$$- q(t-t) \left\{ \frac{q_0(b-y)}{c_{22}} - \frac{8bq_0}{p^2 c_{22}} \sum_{n=0}^{\infty} \frac{\cos\left[\frac{p}{2b}(2n+1)y\right]}{(2n+1)^2} \exp\left[-\frac{c_{22}p^2}{4rC_0b^2}(2n+1)^2 (t-t)\right] \right\}. \quad (9)$$

Легко бачити, що поведінка температурних розподілів визначається співвідношенням між тривалістю імпульсу  $t$  і параметром  $t_0$ , які є незалежними між собою. Тому може бути випадок,  $\tau > \tau_0$ , тобто довгі імпульси і  $\tau < \tau_0$ , тобто короткі імпульси. У роботі проведено дослідження нестационарного температурного розподілу АТ, виготовленого з CdSb для наступних значень

характеристик матеріалу:  $\rho = 6,92 \cdot 10^3 \text{ кг/м}^3$ ,  
 $C_0 = 0,462 \cdot 10^3 \text{ Дж/(кг} \cdot \text{К)}$ ,  $\chi_{22} = 1,5 \text{ Вт/(м} \cdot \text{К)}$ ,  
 $b = 10^{-4} \text{ м}$ ,  $q_0 = 10^4 \text{ Вт/м}^2$ . У цьому випадку параметр  $\tau_0 = 8,65 \cdot 10^{-3} \text{ с}$ .



**Рис. 3.** Нестационарний температурний розподіл АТ із CdSb у випадку довгих імпульсів ( $\tau = 10^{-1}$  с).



**Рис. 4.** Нестационарний температурний розподіл АТ із CdSb у випадку коротких імпульсів ( $t = 2 \cdot 10^{-3}$  с).

На рис. 3 наведено графік температурного розподілу  $\Delta T(y, t) = T(y, t) - T_0$  для АТ із CdSb у випадку довгих імпульсів ( $\tau = 10^{-1}$  с), на рис. 4 – у випадку коротких імпульсів ( $\tau = 2 \cdot 10^{-3}$  с), а на рис. 5 – у випадку середніх імпульсів ( $\tau = 8,65 \cdot 10^{-3}$  с). З

аналізу рис. 3 видно, що АТ при довгих імпульсах дуже швидко нагрівається за час  $t \approx \tau_0$  по експоненціальному закону. Після цього він знаходиться у квазістаціонарному стані на протязі часу  $t \approx \tau$ . При цьому температурний розподіл

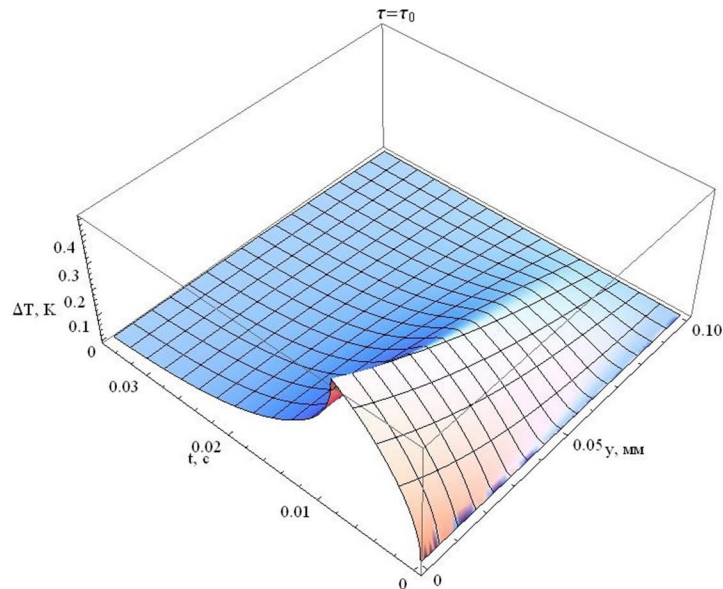


Рис. 5. Нестационарный температурный распределение АТ из CdSb в случае средних импульсов ( $\tau = 8,65 \cdot 10^{-3}$  с).

приймає практично лінійний характер по координаті  $y$ . Після припинення дії променевого імпульсу температура АТ за час  $t \approx \tau_0$  експоненціально швидко знижується до початкового значення  $T_0$ . При проходженні через АТ короткого імпульсу  $t \ll \tau_0$  (рис. 4) просторовий розподіл температури у процесі нагрівання пластини має нелінійний характер і відсутні стаціонарні стани. Оскільки у розв'язку (7) при  $t \ll \tau_0$  ряд, який відповідає за релаксацію температури, є слабо збіжним, то після виключення

променевого імпульсу процес встановлення початкової температури визначається часом  $t_0$ . Із рис. 5 видно, що поведінка температурного розподілу АТ при середніх імпульсах є аналогічною до поведінки при коротких імпульсах.

**Гуцул І.В.** - доктор фізико-математичних наук, професор кафедри теоретичної фізики;  
**Гуцул В.І.** - кандидат фізико-математичних наук, асистент кафедри теоретичної фізики..

- [1] А.А. Ащеулов, И.В. Гуцул, ТКЭА (4), 10 (2005).
- [2] А.А. Ащеулов, И.В. Гуцул, ФТП 40(8), 995 (2006).
- [3] В.Н. Слипченко, А.А. Снарский, ФТП 8(10), 2010 (1974).
- [4] А.В. Лыков, Теория теплопроводности (Высшая школа, Москва, 1967).
- [5] Н.С Кошляков, Э.Б. Глинер, М.М. Смирнов, Уравнения в частных производных математической физики (Высшая школа, Москва, 1970).
- [6] Н.С Пискунов, Дифференциальное и интегральное исчисления для втузов (Наука, Москва, 1978).

**I.V. Gutsul**, V.I. Gutsul

## Peculiarities of Non-Stationary Temperature Distribution of Optical Non-Transparent Anisotropic Thermoelement at Impulse Ray Excitement

Chernivtsi National University, 58012 Kotsiubynsky Str., 2, Chernivtsi, Ukraine, e-mail: [ktf@chnu.edu.ua](mailto:ktf@chnu.edu.ua)

The solutions of non-stationary equation of thermoconductivity for the optical non-transparent thermoelement at impulse ray excitement are presented in the paper for two time ranges: when the ray current falls ( $0 \leq t \leq t$ ) and when it stops ( $t > t$ ). It is shown that the behavior of temperature distributions essentially depends on the relationship between the impulse duration ( $t$ ) and relaxation time ( $t_0$ ) of temperature shifts over the whole volume of anisotropic thermoelement, arising at the impulse ray excitement. The non-stationary temperature distributions are studied for the long, short and middle impulse excitement.

**Key words:** anisotropic thermoelement, thermostat, impulse ray excitement, thermoconductivity coefficient, thermoconductivity equation, temperature.